лдік одолюэтдэгодоли отно

РАЗРАБОТКА И ИССЛЕДОВАНИЕ АЛГОРИТМОВ ОБНАРУЖЕНИЯ УТЕЧЕК В МАГИСТРАЛЬНЫХ ТРУБОПРОВОДАХ НА ОСНОВЕ ИХ ГИДРОДИНАМИЧЕСКИХ МОДЕЛЕЙ

Т.Е. Степанченко, В.Н. Шкляр

Томский политехнический университет E-mail: iccs@iccs.cctpu.edu.ru

Рассмотрены алгоритмы определения параметров утечки в трубопроводах, полученные по уравнениям гидродинамических процессов в них, возникающих при утечках, приведены результаты исследования предложенных алгоритмов определения параметров утечки.

Для транспорта нефти и газа актуальной является проблема обеспечения надёжности магистральных трубопроводов. При возникновении утечки по любой причине необходимо в кратчайшие сроки обнаружить сам факт существования утечки и определить место её возникновения. Сокращение вре-

мени от момента возникновения утечки до момента обнаружения с установлением её координаты позволяет максимально быстро принять меры по локализации аварии, сокращая её масштабы и затраты на ликвидацию. Для удовлетворения перечисленным требованиям трубопроводный транспорт должен быть оснащён автоматически работающими системами обнаружения утечек.

В представленной работе рассматривается метод определения утечки по изменению профиля давления вдоль трубопровода, который базируется на фиксации понижения давления в случае возникновения утечки на контролируемом участке [1, 2]. Предполагается, что рассматриваемый трубопровод сплошной, без дополнительных отводов, по которому протекает однородная жидкость.

При разработке алгоритмов использовалась гидродинамическая модель, описывающая процессы утечки в трубопроводе в виде дифференциального уравнения и граничных условий [3]:

$$\begin{split} \frac{\partial P}{\partial t} &= \chi \, \frac{\partial^2 P}{\partial x^2} - \frac{c^2}{F} G_T \delta \left(x - \xi \right), \\ \text{при} \quad t &= 0, \ P(0,x) = P_H - \frac{P_H - P_K}{l} x; \\ \text{при} \quad x &= 0, \ P = P_H; \quad \text{при} \quad x = l, \ P = P_K, \end{split}$$

где $\chi=c^2/b$; $b=(\lambda w/2d)_m=2a$; $\delta(x-\xi)$ — функция Дирака; P — давление в магистрали; t — время; x — координата по длине трубы; l, d — длина и внутренний диаметр трубопровода; F — площадь сечения трубы; C — скорость распространения волны давления; G_T — массовый расход утечки; λ — коэффициент сопротивления трубопровода; w — скорость движения нефтепродукта; ξ — координата места утечки.

Для приведённых уравнений может быть получено, методом разделения переменных (методом Фурье), точное решение [3]:

$$\begin{split} P(x,t) &= P_H - \frac{(P_H - P_K)x}{l} - \frac{2aG_T}{lF}(l - \xi)x + \\ &+ \sum_{n=1}^{\infty} C_n \sin\frac{n\pi x}{l} \exp\left[-(\frac{n\pi}{l})^2 \frac{C^2}{2a}t\right], \text{ при } 0 < x < \xi; \\ P(x,t) &= P_H - \frac{(P_H - P_K)x}{l} - \frac{2aG_T}{lF}(l - x)\xi + \\ &+ \sum_{n=1}^{\infty} C_n \sin\frac{n\pi x}{l} \exp\left[-(\frac{n\pi}{l})^2 \frac{C^2}{2a}t\right], \text{ при } \xi < x < l; \\ C_n &= \frac{4aG_Tl}{\pi^2 n^2 F} \sin\frac{n\pi \xi}{l}, \end{split}$$

где P_H , P_K — давления, соответственно, в начале и на конце участка трубопровода. Эти значения давлений в процессе функционирования трубопровода должны поддерживаться постоянными.

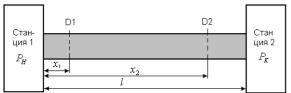


Рис. 1. Схема трубопровода при наличии четырёх датчиков

Будем рассматривать прямолинейный трубопровод, пролегающий между двумя насосными станциями. На каждой станции имеется датчик давления, а на всем протяжении трубы располагаются два датчика давления D_1 и D_2 (рис. 1).

Тогда расчётные формулы для определения параметров утечки по профилю давления, определяемому по четырём датчикам, будут иметь вид [4]:

$$\xi = \frac{b_3(P_{D2} - b_2) l}{b_4(P_{D1} - b_1) - b_3(P_{D2} - b_2)};$$

$$G_T = \frac{b_3(P_{D2} - b_2) - b_4(P_{D1} - b_1)}{lb_3b_4},$$
(2)

ГД

$$b_{1} = P_{H} + \frac{P_{K} - P_{H}}{l} x_{1}; \quad b_{2} = P_{H} + \frac{P_{K} - P_{H}}{l} x_{2};$$

$$b_{3} = \frac{2ax_{1}}{F}; \quad b_{4} = \frac{2a(l - x_{2})}{F}; \quad b_{5} = \frac{2}{\pi} (P_{H} - P_{K});$$

$$b_{6} = \frac{8al}{\pi^{3}F}; \quad b_{7} = \sin \frac{\pi x_{1}}{l}; \quad b_{8} = \sin \frac{\pi x_{2}}{l}.$$

 $P_{\rm Dl}$ и $P_{\rm D2}$ — давление на первом и втором датчиках.

Как видно из формул (1), решение содержит стационарную и нестационарную составляющие. Алгоритм (2) основан на стационарном решении гидродинамической модели, определяющей профиль давления по четырём датчикам. Проверка адекватности модели и работоспособности полученного алгоритма была проведена на имитационных моделях, разработанных в программном пакете MatLab, с использованием приложения MatLab — Simulink. Расчёты проводились для реального объекта по обобщённой схеме, рис. 2.



Рис. 2. Обобщённая схема вычисления параметров утечки

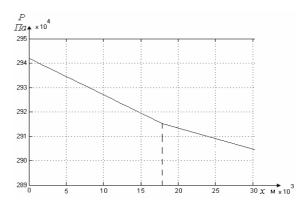


Рис. 3. График профиля давления

В результате моделирования получен график профиля давления, представленный на (рис. 3). Из графика видно, что в месте прорыва трубопровода (ξ =18·10³м) происходит надлом кривой, параметры которого могут быть вычислены по формулам (1). Это доказывает эффективность алгоритма определения параметров утечки по профилю давления.

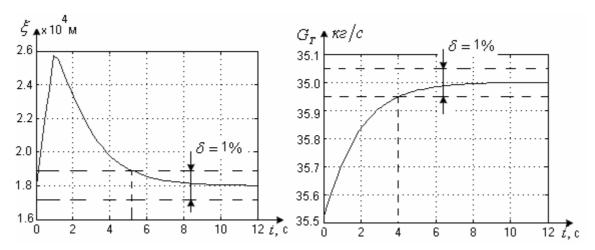


Рис. 4. Графики процесса вычисления координаты утечки и массового расхода при использовании алгоритма по профилю давления с четырьмя датчиками

Однако при использовании данного алгоритма определение параметров начинается после завершения переходных процессов в трубопроводе, что увеличивает время определения.

Для повышения быстродействия определения параметров утечки с определённой точностью можно использовать рассмотренный выше алгоритм обнаружения по профилю давления, определяемого четырьмя датчиками давления, не дожидаясь завершения переходных процессов в трубопроводе при возникновении утечки.

При этом расчёт выполняется по тем же формулам, но в модели профиля давления в трубопроводе учитывается нестационарное решение.

Графики процесса вычисления координаты утечки и массового расхода при использовании алгоритма по профилю давления с четырьмя датчиками с учётом переходных процессов в трубопроводе представлены на рис. 4.

По приведённым графикам видно, что при использовании рассмотренного выше метода на основе показаний четырёх датчиков давления для определения координаты утечки и расхода с однопроцентной погрешностью происходит за время 5,1 и 4,0 с соответственно, что на порядок меньше времени окончания переходных процессов в трубопроводе.

Для ещё большей оперативности определения параметров утечки был разработан алгоритм [5], который предполагает применение шести датчиков, определённым образом расположенных по трубопроводу (рис. 5). Тогда выражения для расчёта расхода и координаты утечки имеют вид:

$$G_{T} = \frac{8[RP_{+1,4} - P_{+2,3} - (R - 1)P_{+H,K}]}{A(2 - R)};$$

$$\xi = \frac{2F}{0,2071 \cdot 2aG_{T}} \times \times (0,39645P_{-H,K} - P_{-1,4} + 0,7071P_{-2,3}) + \frac{l}{2}, \tag{4}$$

гле

$$\begin{split} R &= \frac{\sin(\pi/4)}{\sin(\pi/8)} = 1,847775638; \quad P_{+H,K} = P_H + P_K; \\ P_{-1,4} &= P(x_1,t) - P(x_4,t); \quad P_{+1,4} = P(x_1,t) + P(x_4,t); \\ P_{-2,3} &= P(x_2,t) - P(x_3,t); \quad P_{+2,3} = P(x_2,t) + P(x_3,t); \\ A &= \frac{2al}{F}. \end{split}$$

Моделирование проводилось для того же объекта. Графики зависимости координаты утечки и массового расхода при использовании алгоритма по профилю давления с шестью датчиками представлены на рис. 6. При этом прорыв трубопровода происходит между третьим и четвёртым датчиками, то есть ξ =18·10³ м.



Рис. 5. Схема расположения датчиков на трубопроводе при шести точечном контроле

Из приведённых графиков видно, что при использовании метода на основе показаний шести датчиков решения для определения координаты утечки и расхода становятся точными за время 1 с.

Были проведены исследования алгоритмов с учётом зоны нечувствительности датчиков (β), а именно для β =5 кПа. Результаты исследований для расчёта массового расхода и координаты утечки для алгоритма по четырём и шести датчикам приведены на рис. 7. Данное исследование показало, что наличие зоны нечувствительности влияет на точность определения параметров утечки, причём, большей точностью обладают вычисления при использовании алгоритма с шестью датчиками.

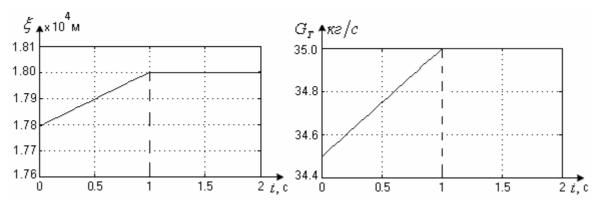


Рис. 6. Графики процесса вычисления координаты утечки (слева) и массового расхода (справа) при использовании алгоритма по профилю давления с шестью датчиками

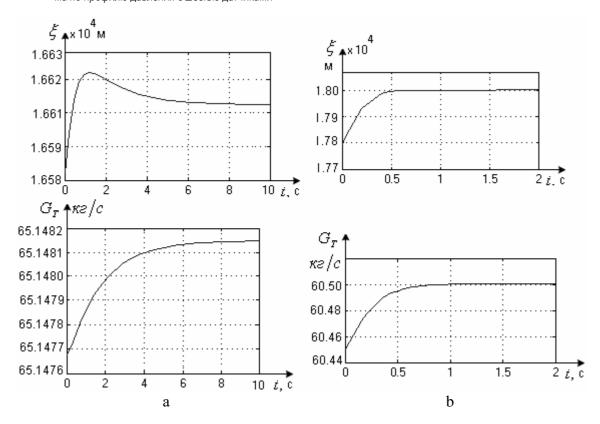


Рис. 7. Графики процесса вычисления координаты утечки и массового расхода при использовании алгоритма по профилю давления с β =5 кПа: а) при четырех датчиках, b) при шести датчиках

При исследовании представленных выше алгоритмов определения параметров утечки было исследовано влияние некоторых параметрических возмущений, в частности, влияние неточности определения скорости звука в жидкости.

Исследования показали, что при задании в алгоритмах вычисления скорости звука с погрешностью в 10 % параметры утечки будут вычислены с погрешностью в 3 %. Для практического использования рассмотренных в работе алгоритмов требуется более полное исследование влияния на них всего спектра параметрических возмущений.

Выводы

- 1. Получены алгоритмы определения параметров утечек по точным решениям уравнений гидродинамических процессов в трубопроводах при утечке. Показана в результате имитационного моделирования работоспособность этих алгоритмов.
- 2. Выбран метод исследования алгоритмов, проведено моделирование процессов определения параметров утечки по трём алгоритмам: по профилю давления без учёта и с учётом переходных процессов в трубопроводе, определяемого че-

- тырьмя датчиками давления и шестью датчиками давления, определённым образом установленными по длине трубопровода.
- 3. Сравнение исследуемых алгоритмов показало, что при одинаковой точности определения параметров утечек наибольшей оперативностью (быстродействием) обладает алгоритм определения параметров утечки по профилю давления с шестью датчиками, установленными определённым образом по длине трубопровода.
- В результате исследования влияния нечувствительности датчиков давления на результаты определения параметров утечки, было выявле-

но влияние величины зоны нечувствительности на точность определения. Установлено, что алгоритм с шестью датчиками позволяет вычислить координаты утечки и её массовый расход с большей точностью, чем алгоритм с четырьмя датчиками при одинаковом значении зоны нечувствительности датчиков.

Для практического использования представленных алгоритмов, в дальнейшем планируется сделать доработку алгоритмов определения параметров утечки для участков трубопровода с уклонами и отводами, провести моделирование с учётом влияния большего числа параметрических возмущений.

СПИСОК ЛИТЕРАТУРЫ

- Барбашов Е.Д., Коняхин А.Н. Результаты испытаний параметрической системы обнаружения утечек // Комплексные решения в автоматизации для динамического развития нефтегазовой отрасли: Матер. ІІ научно-практич. конф. 1—2 ноября 2001 г. Томск: Изд-во Томского ун-та, 2002. —С. 62—67.
- Гольянов А.А. Анализ методов обнаружения утечек на трубопроводах // Транспорт и хранение нефтепродуктов. — 2002. — № 10-11. — С. 5-14.
- Степанченко Т.Е., Шкляр В.Н Исследование математической модели процесса утечки жидкости в трубопроводе // Современные техника и технологии: Труды VII Междунар. научно-
- практ. конф. молодых ученых. Томск, 2005. Т. 1. С. 250—254.
- Степанченко Т.Е., Шкляр В.Н. Исследование алгоритмов обнаружения утечек в трубопроводах, построенных на основе моделей гидродинамических процессов // Современные техника и технологии: Труды VIII Междунар. научно-практ. конф. молодых ученых. — Томск, 2006. — Т. 1. — С. 248—251.
- Шкляр В.Н. Пространственно-комбинационный метод определения параметров утечки в магистральном нефтепроводе // Автоматическое управление и информационные технологии: Межвуз. научно-технический сб. – Вып. 1. – Томск: Изд-во ТПУ, 2005. – С. 18–25.